

УДК 621.315.592

**К ВОЗМОЖНОСТИ ЭКЗОЭМИССИОННОГО АНАЛИЗА  
ЭЛЕКТРОННОЙ СТРУКТУРЫ ПЛЕНОК  
АМОРФНОГО КРЕМНИЯ**

*Р. Я. Акмене, Я. Л. Гавардин, Ю. Д. Дехтар,  
Г. Л. Сагалович, Е. А. Казакова, А. Я. Виноградов*

Исследована фототермостимулированная экзоэлектронная эмиссия (ФТСЭ) из слоев аморфного кремния трех типов: термически напыленного при перпендикулярном  $a\text{-Si}(\perp)$  и наклонном  $a\text{-Si}(\angle)$  падении пучка пара на подложку, а также аморфного гидрированного кремния  $a\text{-SiH}_x$  в интервале температур 273—723 К. Наличие развитой внутренней поверхности, а также собственных дефектов аморфной сетки кремния — оборванных связей — обуславливает сложность спектров ФТСЭ. Показано влияние фотоиндуцированных метастабильных состояний на спектры ФТСЭ в слоях аморфного гидрированного кремния.

Фототермостимулированная экзоэлектронная эмиссия (ФТСЭ) из монокристаллического кремния происходит по механизму фотоэлектронной эмиссии с локальных уровней термодинамически неравновесных вакансий, генерируемых в кристалле при его нагреве в результате диссоциации вакансационных комплексов [1]. Такими комплексами в монокристаллическом кремнии, ответственными за ФТСЭ, могут быть центры. Они дают пик в спектре ФТСЭ при 673 К и характеризуются сигналом ЭПР с  $g=2.0055$  [2]. Аналогичная линия ЭПР в аморфном кремнии идентифицируется как оборванная связь аморфной сетки [3]. Можно предположить, что ФТСЭ спектроскопия может быть использована для диагностики дефектных состояний в аморфном кремнии.

Для исследования были выбраны слои аморфного кремния трех типов: аморфный кремний, термически напыленный из взвешенного состояния при перпендикулярном  $a\text{-Si}(\perp)$  и наклонном  $a\text{-Si}(\angle)$  падении пучка пара на подложку, а также аморфный гидрированный кремний  $a\text{-SiH}_x$ , получаемый плазмохимическим разложением моносилана в ВЧ разряде. Основные параметры осаждения слоев представлены в таблице.

Слои  $a\text{-Si}(\perp)$  монолитны, но пронизаны сетью микропор, слои  $a\text{-Si}(\angle)$  и  $a\text{-SiH}_x$  характеризуются столбчатой микроструктурой с размером неоднородностей 50—500 Å. Поверхность столбов пассивирована

Основные параметры осаждения слоев аморфного кремния

Тип пленки	Номер образца	Температура осаждения, К	Скорость роста, Å/с	Толщина, мкм
$a\text{-Si}(\perp)$	1	573	30	1.0
	2	843	30	1.0
$a\text{-Si}(\angle)$	3	300	30	0.3
	4	373	30	0.3
$a\text{-SiH}_x$	5	408	0.6	1.0
	6	593	1.0	1.5

кислородом в случае  $a\text{-Si}(\angle)$  или водородом в случае  $a\text{-SiH}_x$  [4]. В исследуемых материалах присутствуют два основных типа дефектов аморфной сетки [4]. Во-первых, изолированные оборванные связи кремния во внутреннем объеме столбов в  $a\text{-Si}(\angle)$  и  $a\text{-SiH}_x$  или непрерывной матрицы в  $a\text{-Si}(\perp)$ . Во-вторых, оборванные связи на развитой внутренней поверхности микропор в  $a\text{-Si}(\perp)$  и столбов в  $a\text{-Si}(\angle)$  и в  $a\text{-SiH}_x$ .

ФТСЭ регистрировали в вакууме  $10^{-4}$  Па при монотонном нагреве пленок со скоростью 0.2 К/с в интервале температур 293–723 К. Одновременно с нагревом слои подвергались фотостимуляции светом ксеноновой лампы мощностью 250 Вт, отфильтрованным с помощью стекла БС-12 ( $h\nu_{\max}=5$  эВ).

На рис. 1 продемонстрированы характерные спектры ФТСЭ из аморфного кремния разной природы, представляющие собой зависимости интенсивности эмиссии от температуры. Спектры ФТСЭ слоев аморфного кремния, полученных при низкой температуре подложки, а также  $a\text{-SiH}_x$  (кривые 1, 3, 5) характеризуются возрастанием интенсивности эмиссии в области 473 и 673 К, тогда как в спектрах слоев, полученных при более высоких температурах осаждения, интенсивность ФТСЭ в исследованном интервале температур практически постоянна (кривые 2, 4). Кроме того, интенсивность ФТСЭ из  $a\text{-Si}(\angle)$  в целом ниже, чем из  $a\text{-Si}(\perp)$ .

Возникновение двух ступеней в спектре ФТСЭ коррелирует с наличием двух типов оборванных связей в слоях аморфного кремния. Макси-

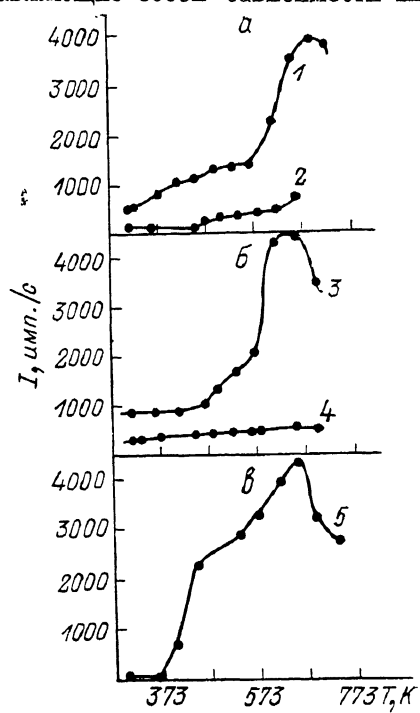


Рис. 1. Зависимость интенсивности ФТСЭ от температуры в слоях  $a\text{-Si}(\perp)$  (a),  $a\text{-Si}(\angle)$  (b),  $a\text{-SiH}_x$  (c).

Номера кривых соответствуют номерам образцов в таблице.

мум интенсивности ФТСЭ при 673 К может быть связан с отжигом оборванных связей кремния во внутреннем объеме аморфной сетки кремния. Температура наблюдаемого максимума совпадает с таковой в процессе отжига  $VV$ -центров в кристаллическом кремнии [5].

Первая ступень интенсивности в спектрах ФТСЭ в области 373–473 К может быть связана с отжигом иенасыщенных связей кремния на развитой внутренней поверхности исследуемых слоев. Температура и интенсивность этого процесса должны сильно зависеть от особенностей микроструктуры пленок. В случае  $a\text{-SiH}_x$  возникновение дефектов на внутренних поверхностях обусловлено процессом эффузии водорода при нагревании пленок выше 373 К [6]. Первая стадия этого процесса представляет собой удаление водорода с поверхностей элементов микроструктуры и образование обнаженной поверхности аморфной сетки кремния, т. е. поверхности, аналогичной по своей природе поверхности микропор и столбов в  $a\text{-Si}(\perp)$  и  $a\text{-Si}(\angle)$ .

Особенностью  $a\text{-SiH}_x$  является возникновение в этом материале индуцированных светом метастабильных состояний, так называемый эффект Стэблера—Бронского [7]. На рис. 2 представлены кривые интенсивности ФТСЭ из  $a\text{-SiH}_x$  до и после облучения пленок светом лампы ДКСЛ-2000 мощностью 2 кВт, полученные в режиме изохронного отжига на установке [8]. Длительность регистрации эмиссии при каждой исследованной

температуре составляла 15 с. Это обеспечивало изменение интенсивности эзоэмиссии, не превышающее ошибки ее измерения. Исследование выполнено в более узком температурном интервале 293—573 К.

Сложная природа первой ступени ФТСЭ в интервале температур 373—473 К (кривая 1) требует дополнительных исследований. После освещения интенсивность ФТСЭ при комнатной температуре значительно возрастает (кривая 2). В результате нагрева дефектные состояния в области первой ФТСЭ отжигаются, и кривые ФТСЭ выше 473 К сближаются. Это может свидетельствовать о единой природе дефектов, индуцируемых светом в слоях  $a\text{-SiH}_x$ , и дефектов, ответственных за первую ступень в спектрах ФТСЭ.

В ряде современных трактовок эффекта Стэблера—Вронского предполагается, что генерация оборванных связей в результате освещения

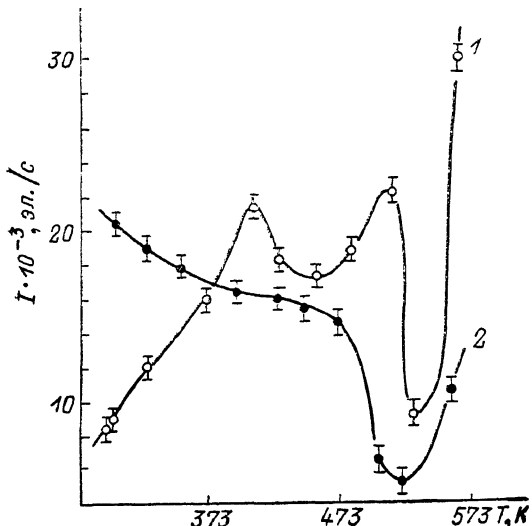


Рис. 2. Зависимость интенсивности ФТСЭ от температуры в слоях  $a\text{-SiH}_x$  (образец № 6) до (1) и после (2) облучения.

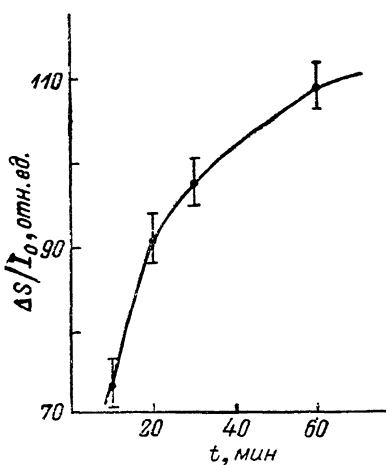


Рис. 3. Зависимость параметра  $\Delta S/I_0$  от времени облучения пленки  $a\text{-SiH}_x$  светом.

обусловлена структурно-химическими перестройками с участием водорода [9], что в целом согласуется с нашими предположениями о поверхностной природе возникающих дефектов.

В [1] было показано, что отношение числа электронов, эмиттированных в процессе нагрева,  $\Delta S = \Delta \int_{T_0}^T I(T) dT$  к интенсивности ФТСЭ при комнатной температуре  $I_0$  пропорционально концентрации дефектов, ответственных за процесс эмиссии, т. е.  $\Delta S/I_0 \sim N_S$ . На рис. 3 представлена зависимость фактора  $\Delta S/I_0$  от времени освещения пленки, т. е. времени генерации светом ненасыщенных связей в  $a\text{-SiH}_x$ . Полученная нами форма кривой  $\Delta S/I_0 = f(t)$  согласуется с зависимостью концентрации генерируемых светом оборванных связей от интенсивности падающего света и времени облучения, полученной методом ЭПР в [10], где показано, что  $N_S \sim I^2 t^4$ .

Таким образом, выполненные исследования показывают возможность использования метода ФТСЭ спектроскопии для изучения дефектных состояний в слоях аморфного кремния.

#### Л и т е р а т у р а

- [1] Сагалович Г. Л., Дехтяр Ю. Д. // Поверхность. 1985. № 5. С. 65—72.
- [2] Герасименко Н. Н., Двуреченский А. В., Смирнов Л. С. // ФТП. 1971. Т. 5. № 9. С. 1700—1705.

- [3] Хамакава А. Ю. Аморфные полупроводники и приборы на их основе. М., 1986. С. 81—93.
- [4] Андреев А. А., Сидорова Т. А., Казакова Е. А. и др. // ФТП. 1986. Т. 20. № 8. С. 1469—1475.
- [5] Алексеев А. Н., Быстров В. С., Дехтяр Ю. Д. и др. // ФТП. 1984. Т. 18. № 1. С. 169—170.
- [6] Ueda M., Chayahara A., Nakashita T., Imura T. // J. Appl. Phys. 1985. Pt. 1. V. 24. N 7. P. 795—799.
- [7] Staebler D. L., Wronsky C. R. // J. Appl. Phys. 1980. V. 51. N 6. P. 3262—3268.
- [8] Апельс А. Я. // Электронная техника, сер. 8. 1984. № 6. С. 19—21.
- [9] Stuke J. // Ann. Rev. Mater. Sci. 1985. V. 15. P. 79—102.
- [10] Stutzman M., Jackson W. B., Tsai C. C. // Phys. Rev. (B). 1985. V. 32. N 1. P. 23—47.

Физико-технический институт  
им. А. Ф. Иоффе АН СССР  
Ленинград

Поступило в Редакцию  
7 июля 1988 г.

---